



Raport

z badań poziomu natężenia pola elektrycznego
w otoczeniu stacji bazowej:

BT43572

na podstawie sprawozdania LBMT/008/02/26/PEM/OS udostępnionego przez MOBI-TELEKOM
Adam Macioch

Laboratorium prowadzące badania

MOBI-TELEKOM Adam Macioch
al. Niepodległości 799A
81-810 Sopot
58 765 13 13
biuro@mobi-telekom.pl

Zleceniodawca badań

Towerlink Poland Sp. z o.o.
Kasprzaka 4
01-211 Warszawa
22 426 10 00
kontakt@plus.pl

Nr akredytacji: AB 1198

Data wydania sprawozdania: 05.03.2026

Raport zawiera wybrane elementy sprawozdania i służy wyłącznie obrazowemu przedstawieniu informacji o danej instalacji. Raport nie może być wykorzystywany w postępowaniach administracyjnych.

Informacje ogólne

Zgodność z metodyką RMK: Tak

Wykorzystanie w obszarze regulowanym: Tak

Przedmiot badań

Identyfikator stacji w UKE	BT43572
Operator	Polkomtel Sp. z o.o.
Współrzędne	15,0105110; 53,3464750
Rodzaj pracy	ciągła
Rodzaj wytwarzanego pola	stacjonarne

Miejsce badań

Otoczenie stacji bazowej BT43572 w lokalizacji Stargard, Stargard Szcz.,ul. Usługowa 1A 1.

Cel badań

1. Zweryfikowanie zgodności z wymaganiami rozporządzenia Ministra Zdrowia z dnia 19 grudnia 2019 r.

Opis stacji bazowych

Tabela 1: Opis anten badanych stacji bazowych

Lp.	Identyfikator stacji w UKE	Typ Producent anteny	Azymut	H	EIRP	Pasma	Tilt	Tilt w trakcie pomiarów
			[°]	[m]	[W]	[MHz]	[°]	[°]
1	BT43572	AIR3229 Ericsson	35	39,50	24085*	2600 3500	2,0 - 12,0 2,0 - 12,0	7,0 7,0
2		AIR3229 Ericsson	155	39,50	24085*	2600 3500	2,0 - 12,0 2,0 - 12,0	7,0 7,0
3		AIR3229 Ericsson	275	39,50	24085*	2600 3500	2,0 - 12,0 2,0 - 12,0	7,0 7,0
4		KRE1012726 Ericsson	35	44,30	36021*	1800 2100 2600 700 900	2,0 - 12,0 2,0 - 12,0 2,0 - 12,0 2,0 - 12,0 2,0 - 12,0	7,0 7,0 7,0 7,0 7,0
5		KRE1012726 Ericsson	155	44,30	36021*	1800 2100 2600 700 900	2,0 - 12,0 2,0 - 12,0 2,0 - 12,0 2,0 - 12,0 2,0 - 12,0	7,0 7,0 7,0 7,0 7,0
6		KRE1012726 Ericsson	275	44,30	36021*	1800 2100 2600 700 900	2,0 - 12,0 2,0 - 12,0 2,0 - 12,0 2,0 - 12,0 2,0 - 12,0	7,0 7,0 7,0 7,0 7,0

* moc EIRP łączna dla wszystkich częstotliwości anteny

Warunki pomiarów

Pomiary w wyznaczonych punktach wykonano w następujących warunkach:

Tabela 2: Warunki pomiarów

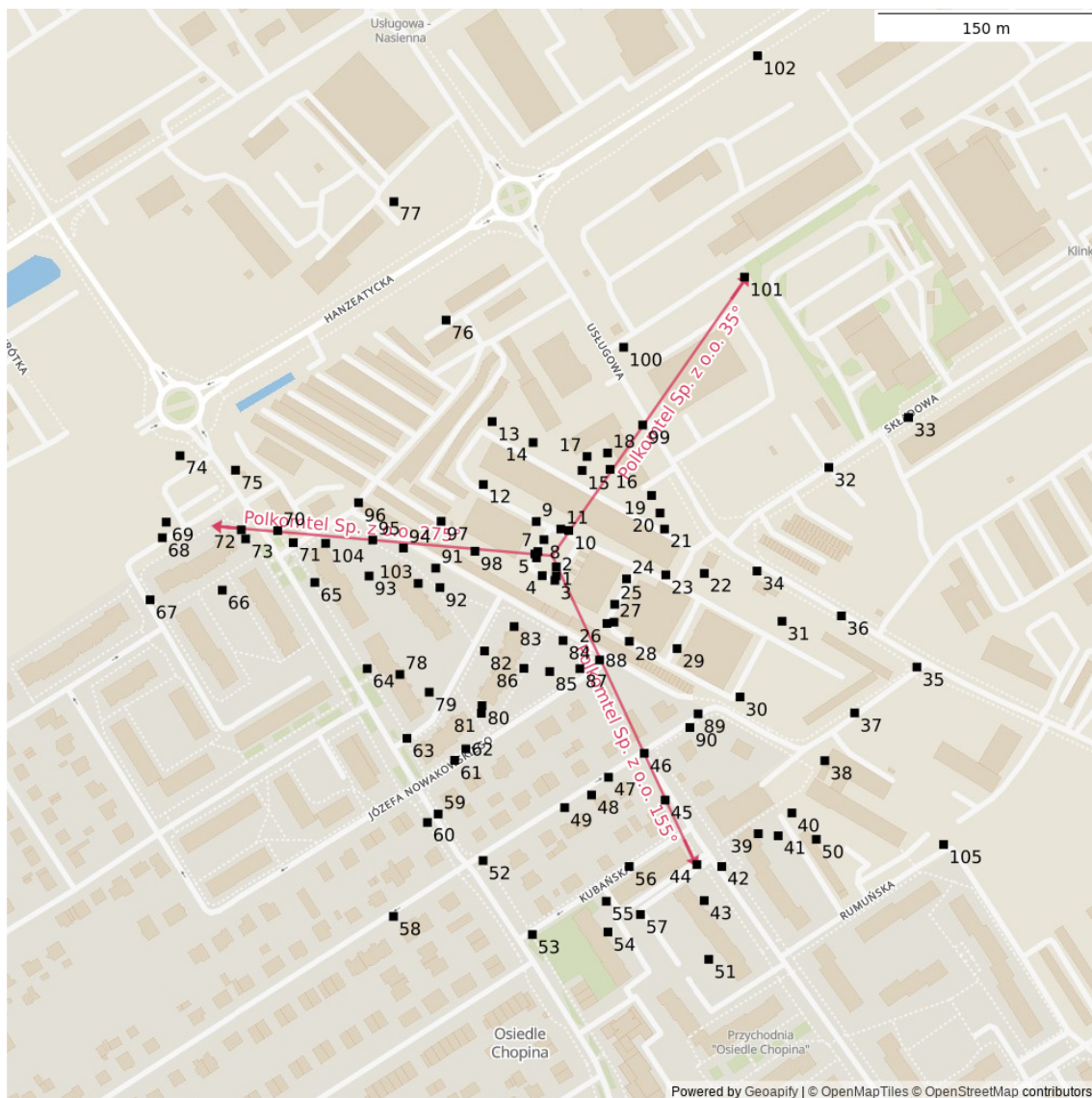
04.03.2026 10:15-11:30			
Warunki środowiskowe	Temperatura [°C]	Wilgotność [%]	Opady
Minimalna	4,6	64,3	brak
Maksymalna	6,8	71,3	

Aparatura

Tabela 3: Aparatura

MIERNIKI I SONDY					
Lp.	Typ / Nazwa	Model	Producent	Próg detekcji	Świadectwo wzorcowania
1a	miernik	NBM-550	Narda Safety Test Solutions	0,80	LWiMP/W/277/24 z dn. 17.07.2024 wydane przez LWiMP, Politechnika Wrocławska
1b	sonda	EF-9091	Narda Safety Test Solutions		
POZOSTAŁE					
Lp.	Typ / Nazwa	Model	Producent	Świadectwo wzorcowania	
2	termohigrometr	AZ 8703	AZ Instrument Corp.	3930/AH/25 z dn. 29.08.2025 wydane przez Laboratorium Pomiarowe 'MUTECH' (AP 106), Łowicz	
3	dalmierz laserowy	PD-32	HILTI	3337/AM/25 z dn. 27.08.2025 wydane przez Laboratorium Pomiarowe 'MUTECH' (AP 106), Łowicz	

Lokalizacje pionów pomiarowych



Rysunek 1: Plan terenu

Dodatkowe informacje o punktach

punkt 39: DPP - ul. Czeska 8, III/IV piętro, klatka schodowa w oknie

punkt 43: DPP - ul. Czeska 13, III/IV piętro, klatka schodowa w oknie

punkt 54: DPP - ul. Wieniawskiego 20, III/IV piętro, klatka schodowa w oknie

punkt 78: DPP - ul. Wieniawskiego 28 A, III/IV piętro, klatka schodowa w oknie

punkt 83: DPP - ul. Chopina 52A, III/IV piętro, klatka schodowa w oknie

punkt 103: DPP - ul. Chopina 33d, III/IV piętro, klatka schodowa w oknie

punkt 104: DPP - ul. Wieniawskiego 30e, III/IV piętro, klatka schodowa w oknie

Wyniki pomiarów szerokopasmowych

Tabela 4: Zestawienie lokalizacji pionów pomiarowych oraz wyników pomiarów natężenia pola elektrycznego, pomiary szerokopasmowe

Nazwa	Data	Współrzędne geograficzne	E	WM _E	H	WM _H
		[°]	[$\frac{V}{m}$]		[$\frac{A}{m}$]	
1	04.03.2026	15,0105520 53,3464060	2,50	0,089	0,007	0,091
2	04.03.2026	15,0105520 53,3463500	3,91	0,140	0,010	0,142
3	04.03.2026	15,0105380 53,3463220	3,75	0,134	0,010	0,136
4	04.03.2026	15,0104060 53,3463510	3,13	0,112	0,008	0,114
5	04.03.2026	15,0103290 53,3464860	2,03	0,073	0,005	0,074
6	04.03.2026	15,0103460 53,3464620	1,88	0,067	0,005	0,068
7	04.03.2026	15,0103600 53,3465010	1,88	0,067	0,005	0,068
8	04.03.2026	15,0104240 53,3465750	2,19	0,078	0,006	0,080
9	04.03.2026	15,0103440 53,3466880	2,35	0,084	0,006	0,085
10	04.03.2026	15,0106820 53,3466320	2,35	0,084	0,006	0,085
11	04.03.2026	15,0105990 53,3466410	2,19	0,078	0,006	0,080
12	04.03.2026	15,0097920 53,3469180	1,41	0,050	0,004	0,051
13	04.03.2026	15,0098840 53,3473090	1,25	0,045	0,003	0,045
14	04.03.2026	15,0103110 53,3471790	1,88	0,067	0,005	0,068
15	04.03.2026	15,0108220 53,3470050	1,72	0,061	0,005	0,062
16	04.03.2026	15,0111130 53,3470120	< 1,25	< 0,045	< 0,003	< 0,045
17	04.03.2026	15,0108730 53,3470920	1,56	0,056	0,004	0,057
18	04.03.2026	15,0110870 53,3471140	1,72	0,061	0,005	0,062
19	04.03.2026	15,0115460 53,3468500	1,25	0,045	0,003	0,045
20	04.03.2026	15,0116340 53,3467410	1,41	0,050	0,004	0,051
21	04.03.2026	15,0116810 53,3466410	< 1,25	< 0,045	< 0,003	< 0,045
22	04.03.2026	15,0120960 53,3463650	2,66	0,095	0,007	0,097

Ciąg dalszy na następnej stronie

Tabela 4: Zestawienie lokalizacji pionów pomiarowych oraz wyników pomiarów natężenia pola elektrycznego, pomiary szerokopasmowe (c.d.)

Nazwa	Data	Współrzędne geograficzne	E	WM _E	H	WM _H
		[°]	[$\frac{V}{m}$]		[$\frac{A}{m}$]	
23	04.03.2026	15,0116940 53,3463560	2,03	0,073	0,005	0,074
24	04.03.2026	15,0112850 53,3463310	1,72	0,061	0,005	0,062
25	04.03.2026	15,0111620 53,3461730	1,88	0,067	0,005	0,068
26	04.03.2026	15,0110810 53,3460540	1,88	0,067	0,005	0,068
27	04.03.2026	15,0111540 53,3460620	2,35	0,084	0,006	0,085
28	04.03.2026	15,0113140 53,3459430	2,19	0,078	0,006	0,080
29	04.03.2026	15,0118120 53,3458980	1,56	0,056	0,004	0,057
30	04.03.2026	15,0124680 53,3455970	< 1,25	< 0,045	< 0,003	< 0,045
31	04.03.2026	15,0129060 53,3460680	< 1,25	< 0,045	< 0,003	< 0,045
32	04.03.2026	15,0133940 53,3470240	< 1,25	< 0,045	< 0,003	< 0,045
33	04.03.2026	15,0142250 53,3473350	1,25	0,045	0,003	0,045
34	04.03.2026	15,0126450 53,3463800	2,03	0,073	0,005	0,074
35	04.03.2026	15,0143120 53,3457830	1,88	0,067	0,005	0,068
36	04.03.2026	15,0135250 53,3461010	< 1,25	< 0,045	< 0,003	< 0,045
37	04.03.2026	15,0136630 53,3454980	1,56	0,056	0,004	0,057
38	04.03.2026	15,0133520 53,3452010	1,25	0,045	0,003	0,045
39	04.03.2026	–	1,72	0,061	0,005	0,062
40	04.03.2026	15,0130090 53,3448760	< 1,25	< 0,045	< 0,003	< 0,045
41	04.03.2026	15,0128660 53,3447340	< 1,25	< 0,045	< 0,003	< 0,045
42	04.03.2026	15,0122780 53,3445430	3,91	0,140	0,010	0,142
43	04.03.2026	–	2,66	0,095	0,007	0,097
44	04.03.2026	15,0120190 53,3445550	3,75	0,134	0,010	0,136

Ciąg dalszy na następnej stronie

Tabela 4: Zestawienie lokalizacji pionów pomiarowych oraz wyników pomiarów natężenia pola elektrycznego, pomiary szerokopasmowe (c.d.)

Nazwa	Data	Współrzędne geograficzne	E	WM _E	H	WM _H
		[°]	[$\frac{V}{m}$]		[$\frac{A}{m}$]	
45	04.03.2026	15,0116880 53,3449560	3,28	0,117	0,009	0,119
46	04.03.2026	15,0114700 53,3452470	< 1,25	< 0,045	< 0,003	< 0,045
47	04.03.2026	15,0110970 53,3450980	2,03	0,073	0,005	0,074
48	04.03.2026	15,0109210 53,3449880	< 1,25	< 0,045	< 0,003	< 0,045
49	04.03.2026	15,0106400 53,3449090	2,03	0,073	0,005	0,074
50	04.03.2026	15,0132630 53,3447120	< 1,25	< 0,045	< 0,003	< 0,045
51	04.03.2026	15,0121420 53,3439660	< 1,25	< 0,045	< 0,003	< 0,045
52	04.03.2026	15,0097890 53,3445800	< 1,25	< 0,045	< 0,003	< 0,045
53	04.03.2026	15,0103030 53,3441200	< 1,25	< 0,045	< 0,003	< 0,045
54	04.03.2026	–	2,66	0,095	0,007	0,097
55	04.03.2026	15,0110740 53,3443270	< 1,25	< 0,045	< 0,003	< 0,045
56	04.03.2026	15,0113130 53,3445430	< 1,25	< 0,045	< 0,003	< 0,045
57	04.03.2026	15,0114300 53,3442450	< 1,25	< 0,045	< 0,003	< 0,045
58	04.03.2026	15,0088550 53,3442330	< 1,25	< 0,045	< 0,003	< 0,045
59	04.03.2026	15,0093210 53,3448690	1,41	0,050	0,004	0,051
60	04.03.2026	15,0092090 53,3448170	1,25	0,045	0,003	0,045
61	04.03.2026	15,0094930 53,3452030	< 1,25	< 0,045	< 0,003	< 0,045
62	04.03.2026	15,0096100 53,3452740	< 1,25	< 0,045	< 0,003	< 0,045
63	04.03.2026	15,0089960 53,3453400	1,88	0,067	0,005	0,068
64	04.03.2026	15,0085810 53,3457730	< 1,25	< 0,045	< 0,003	< 0,045
65	04.03.2026	15,0080350 53,3463090	< 1,25	< 0,045	< 0,003	< 0,045
66	04.03.2026	15,0070710 53,3462610	< 1,25	< 0,045	< 0,003	< 0,045

ciąg dalszy na następnej stronie

Tabela 4: Zestawienie lokalizacji pionów pomiarowych oraz wyników pomiarów natężenia pola elektrycznego, pomiary szerokopasmowe (c.d.)

Nazwa	Data	Współrzędne geograficzne	E	WM _E	H	WM _H
		[°]	[$\frac{V}{m}$]		[$\frac{A}{m}$]	
67	04.03.2026	15,0063180 53,3462010	< 1,25	< 0,045	< 0,003	< 0,045
68	04.03.2026	15,0064460 53,3465870	< 1,25	< 0,045	< 0,003	< 0,045
69	04.03.2026	15,0064860 53,3466840	< 1,25	< 0,045	< 0,003	< 0,045
70	04.03.2026	15,0076480 53,3466310	< 1,25	< 0,045	< 0,003	< 0,045
71	04.03.2026	15,0078110 53,3465560	< 1,25	< 0,045	< 0,003	< 0,045
72	04.03.2026	15,0072690 53,3466360	< 1,25	< 0,045	< 0,003	< 0,045
73	04.03.2026	15,0073140 53,3465800	< 1,25	< 0,045	< 0,003	< 0,045
74	04.03.2026	15,0066300 53,3470970	< 1,25	< 0,045	< 0,003	< 0,045
75	04.03.2026	15,0072090 53,3470070	< 1,25	< 0,045	< 0,003	< 0,045
76	04.03.2026	15,0094040 53,3479400	< 1,25	< 0,045	< 0,003	< 0,045
77	04.03.2026	15,0088600 53,3486760	< 1,25	< 0,045	< 0,003	< 0,045
78	04.03.2026	–	2,97	0,106	0,008	0,108
79	04.03.2026	15,0092280 53,3456270	1,72	0,061	0,005	0,062
80	04.03.2026	15,0097780 53,3455430	< 1,25	< 0,045	< 0,003	< 0,045
81	04.03.2026	15,0097720 53,3454960	< 1,25	< 0,045	< 0,003	< 0,045
82	04.03.2026	15,0098050 53,3458830	1,88	0,067	0,005	0,068
83	04.03.2026	–	< 1,25	< 0,045	< 0,003	< 0,045
84	04.03.2026	15,0106230 53,3459480	1,88	0,067	0,005	0,068
85	04.03.2026	15,0104840 53,3457550	2,03	0,073	0,005	0,074
86	04.03.2026	15,0102150 53,3457750	1,72	0,061	0,005	0,062
87	04.03.2026	15,0107990 53,3457730	2,19	0,078	0,006	0,080
88	04.03.2026	15,0110040 53,3458270	2,19	0,078	0,006	0,080

Ciąg dalszy na następnej stronie

Tabela 4: Zestawienie lokalizacji pionów pomiarowych oraz wyników pomiarów natężenia pola elektrycznego, pomiary szerokopasmowe (c.d.)

Nazwa	Data	Współrzędne geograficzne	E	WM _E	H	WM _H
		[°]	[$\frac{V}{m}$]		[$\frac{A}{m}$]	
89	04.03.2026	15,0120310 53,3454920	< 1,25	< 0,045	< 0,003	< 0,045
90	04.03.2026	15,0119450 53,3454070	< 1,25	< 0,045	< 0,003	< 0,045
91	04.03.2026	15,0092960 53,3463980	1,88	0,067	0,005	0,068
92	04.03.2026	15,0093400 53,3462770	1,72	0,061	0,005	0,062
93	04.03.2026	15,0086010 53,3463490	< 1,25	< 0,045	< 0,003	< 0,045
94	04.03.2026	15,0089590 53,3465230	1,72	0,061	0,005	0,062
95	04.03.2026	15,0086390 53,3465730	1,56	0,056	0,004	0,057
96	04.03.2026	15,0084910 53,3468050	1,56	0,056	0,004	0,057
97	04.03.2026	15,0093520 53,3466890	< 1,25	< 0,045	< 0,003	< 0,045
98	04.03.2026	15,0097050 53,3465030	< 1,25	< 0,045	< 0,003	< 0,045
99	04.03.2026	15,0114530 53,3472880	< 1,25	< 0,045	< 0,003	< 0,045
100	04.03.2026	15,0112550 53,3477710	< 1,25	< 0,045	< 0,003	< 0,045
101	04.03.2026	15,0125150 53,3482070	< 1,25	< 0,045	< 0,003	< 0,045
102	04.03.2026	15,0126510 53,3495830	< 1,25	< 0,045	< 0,003	< 0,045
103	04.03.2026	–	2,82	0,101	0,007	0,102
104	04.03.2026	–	2,03	0,073	0,005	0,074
105	04.03.2026	15,0145900 53,3446800	< 1,25	< 0,045	< 0,003	< 0,045

Podsumowanie

Na podstawie wyników pomiarów pola elektromagnetycznego przedstawionych w niniejszym raporcie o nr LBMT/008/02/26/PEM/OS opracowanym przez MOBI-TELEKOM Adam Macioch stwierdza się, że w otoczeniu stacji bazowej BT43572 dopuszczalne poziomy pól elektromagnetycznych w środowisku, określone w przepisach wydanych na podstawie art. 122 ust. 1 ustawy z dnia 27 kwietnia 2001 r. – Prawo ochrony środowiska uznaje się za **dotrzymane**. Udokumentowano, że w żadnym pionie pomiarowym wartości wskaźnikowe

WM_E oraz WM_H nie przekroczyły 1.

Osoby odpowiedzialne

Wykonanie pomiarów: b.d.

Opracowanie sprawozdania: b.d.

Autoryzacja sprawozdania: mgr inż. Adam Macioch (Pracownik techniczny)